

Inducción experimental transplacentaria y neonatal de tumores nerviosos a ratas Wistar con etilnitrosourea

Teresa Ribalta Farrés

ADVERTIMENT. La consulta d'aquesta tesi queda condicionada a l'acceptació de les següents condicions d'ús: La difusió d'aquesta tesi per mitjà del servei TDX (www.tesisenxarxa.net) ha estat autoritzada pels titulars dels drets de propietat intel·lectual únicament per a usos privats emmarcats en activitats d'investigació i docència. No s'autoritza la seva reproducció amb finalitats de lucre ni la seva difusió i posada a disposició des d'un lloc aliè al servei TDX. No s'autoritza la presentació del seu contingut en una finestra o marc aliè a TDX (framing). Aquesta reserva de drets afecta tant al resum de presentació de la tesi com als seus continguts. En la utilització o cita de parts de la tesi és obligat indicar el nom de la persona autora.

ADVERTENCIA. La consulta de esta tesis queda condicionada a la aceptación de las siguientes condiciones de uso: La difusión de esta tesis por medio del servicio TDR (www.tesisenred.net) ha sido autorizada por los titulares de los derechos de propiedad intelectual únicamente para usos privados enmarcados en actividades de investigación y docencia. No se autoriza su reproducción con finalidades de lucro ni su difusión y puesta a disposición desde un sitio ajeno al servicio TDR. No se autoriza la presentación de su contenido en una ventana o marco ajeno a TDR (framing). Esta reserva de derechos afecta tanto al resumen de presentación de la tesis como a sus contenidos. En la utilización o cita de partes de la tesis es obligado indicar el nombre de la persona autora.

WARNING. On having consulted this thesis you're accepting the following use conditions: Spreading this thesis by the TDX (www.tesisenxarxa.net) service has been authorized by the titular of the intellectual property rights only for private uses placed in investigation and teaching activities. Reproduction with lucrative aims is not authorized neither its spreading and availability from a site foreign to the TDX service. Introducing its content in a window or frame foreign to the TDX service is not authorized (framing). This rights affect to the presentation summary of the thesis as well as to its contents. In the using or citation of parts of the thesis it's obliged to indicate the name of the author.

R. 194.504

INDUCCION TRANSPLACENTARIA Y NEONATAL
DE TUMORES NERVIOSOS EN RATAS WISTAR
CON ETILNITROSOUREA

T E S I S D O C T O R A L

TERESA M. RIBALTA FARRES

DIRECTOR: PROF. DR. A. CARDESA

FACULTAD DE MEDICINA
UNIVERSIDAD DE BARCELONA
JULIO 1985

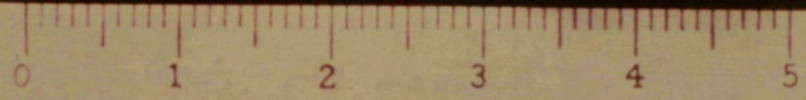
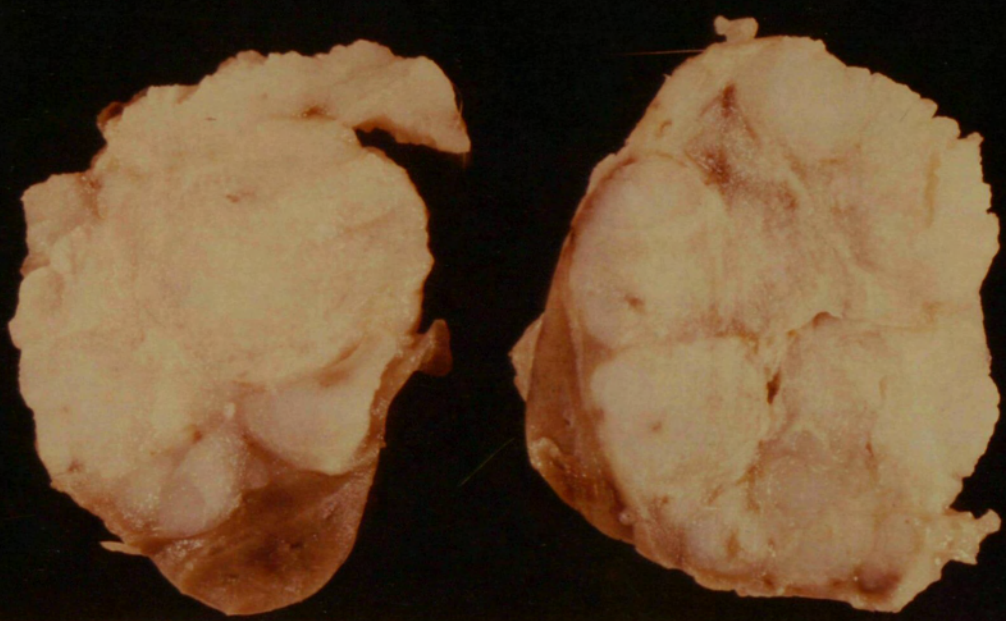
Fig.29:

Afectación tumoral masiva del riñón derecho por un nefroblastoma.

Fig.30:

El riñón del lado izquierdo muestra una extensa masa tumoral de color blanco amarillento con áreas grisáceas. A la derecha el riñón contralateral, de tamaño normal.

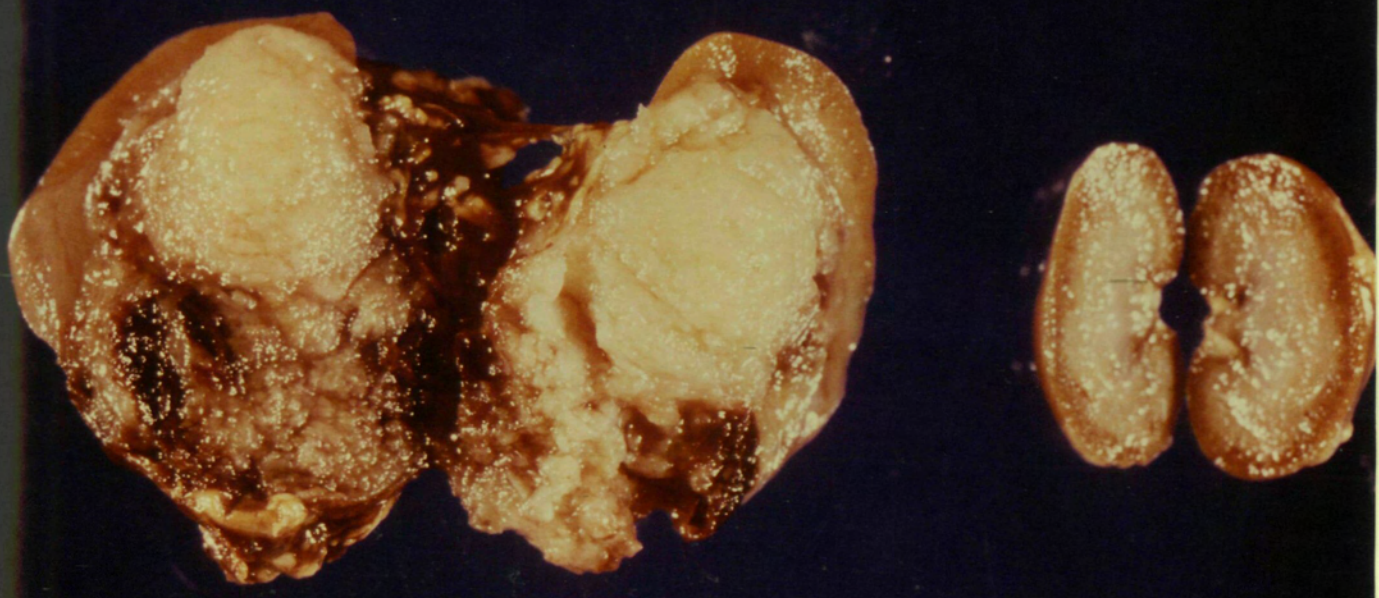
29



R-200/83

SERVICIO DE ANATOMÍA PATOLÓGICA

30



R-591/83

Fig.31:

Microtumor cerebral en la corteza hipocampal.

Fig.32:

Hipocampo parcialmente invadido por una proliferación tumoral de mayor tamaño que el anterior.

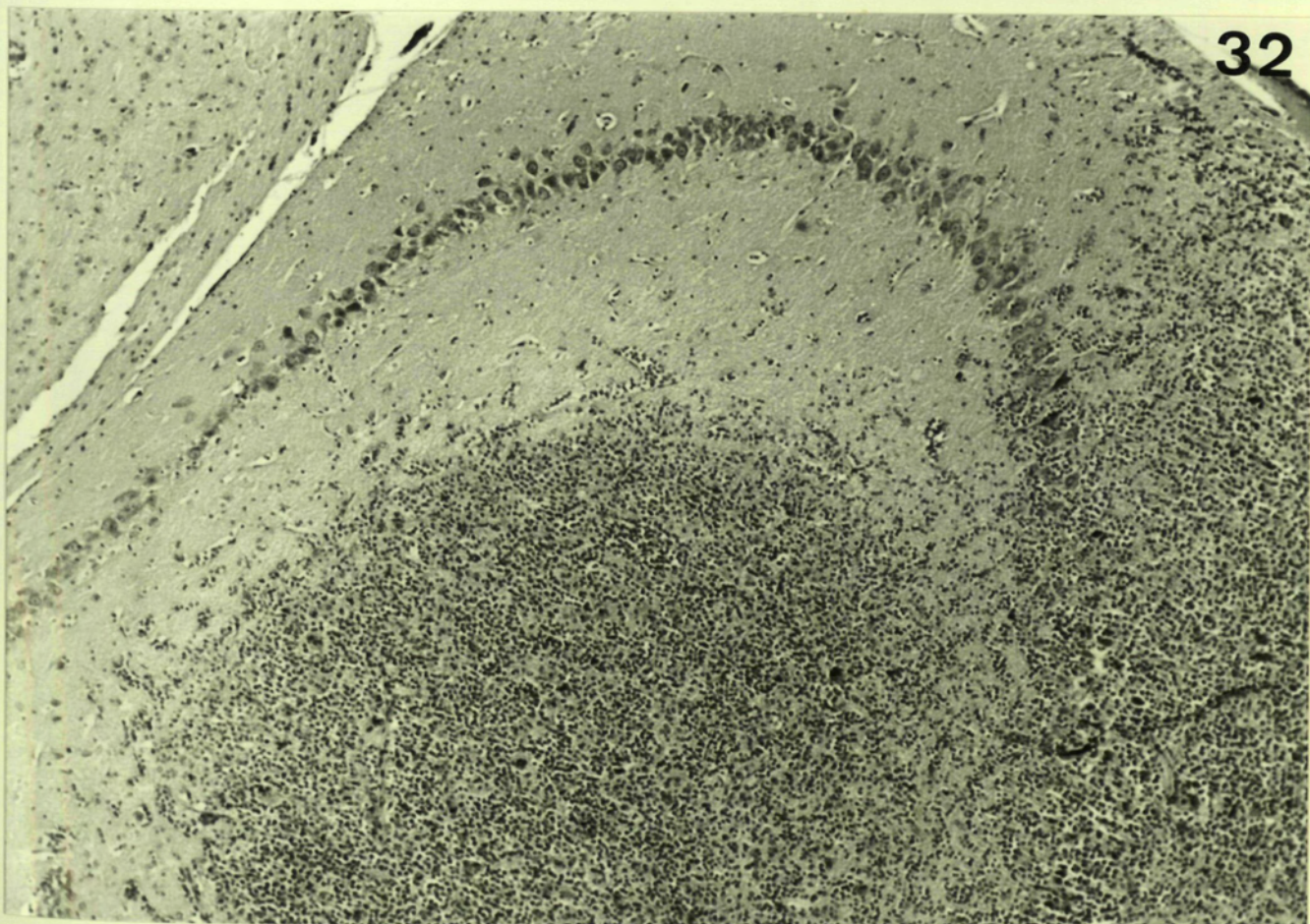
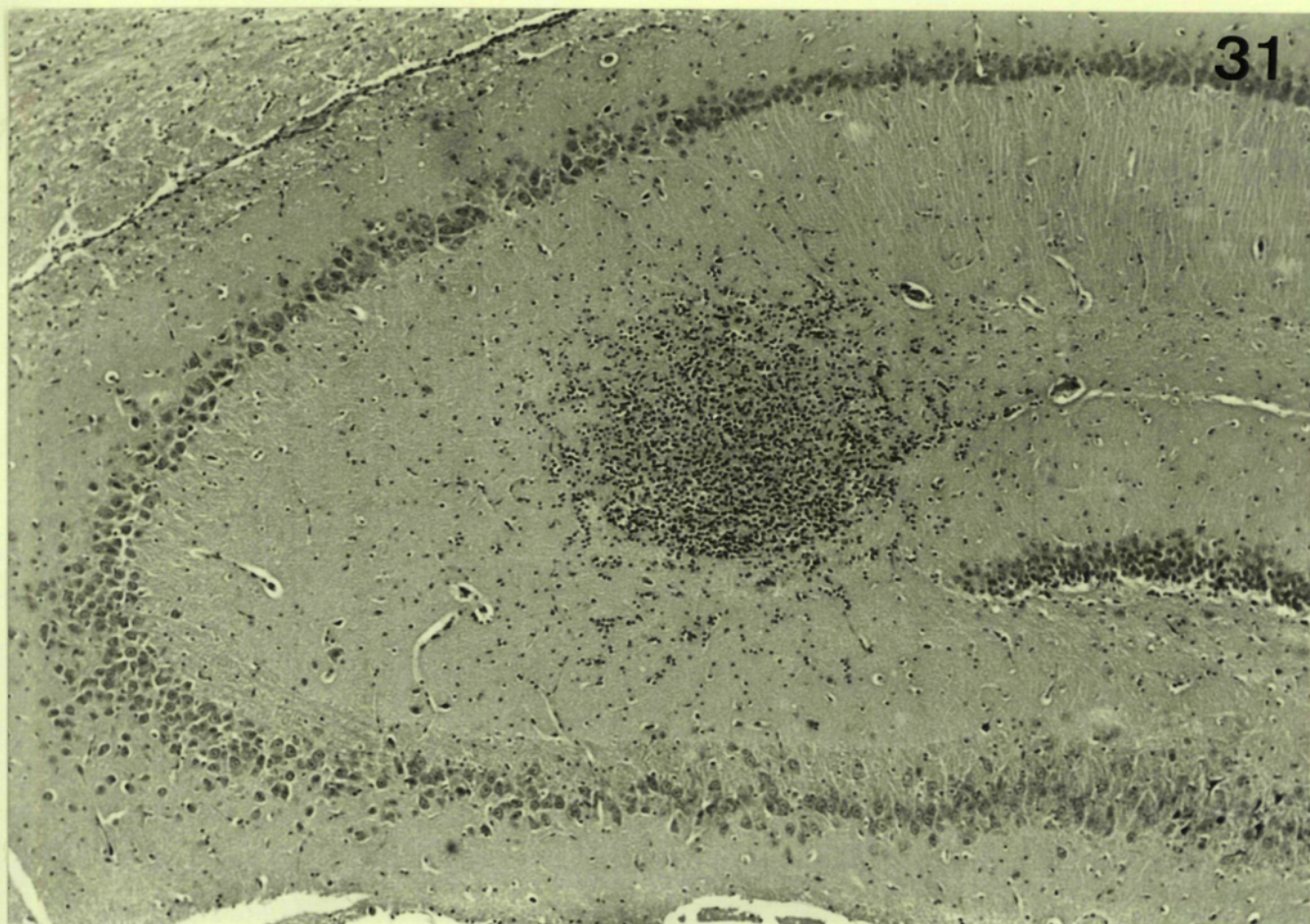


Fig.33:

Margen de un glioma cerebral integrado básicamente por células redondas y pequeñas de aspecto oligodendroglial.

Fig.34:

Ventrículo lateral cerebral parcialmente colapsado por una tumoración originada en su pared externa, que corresponde a un glioma con áreas necróticas.

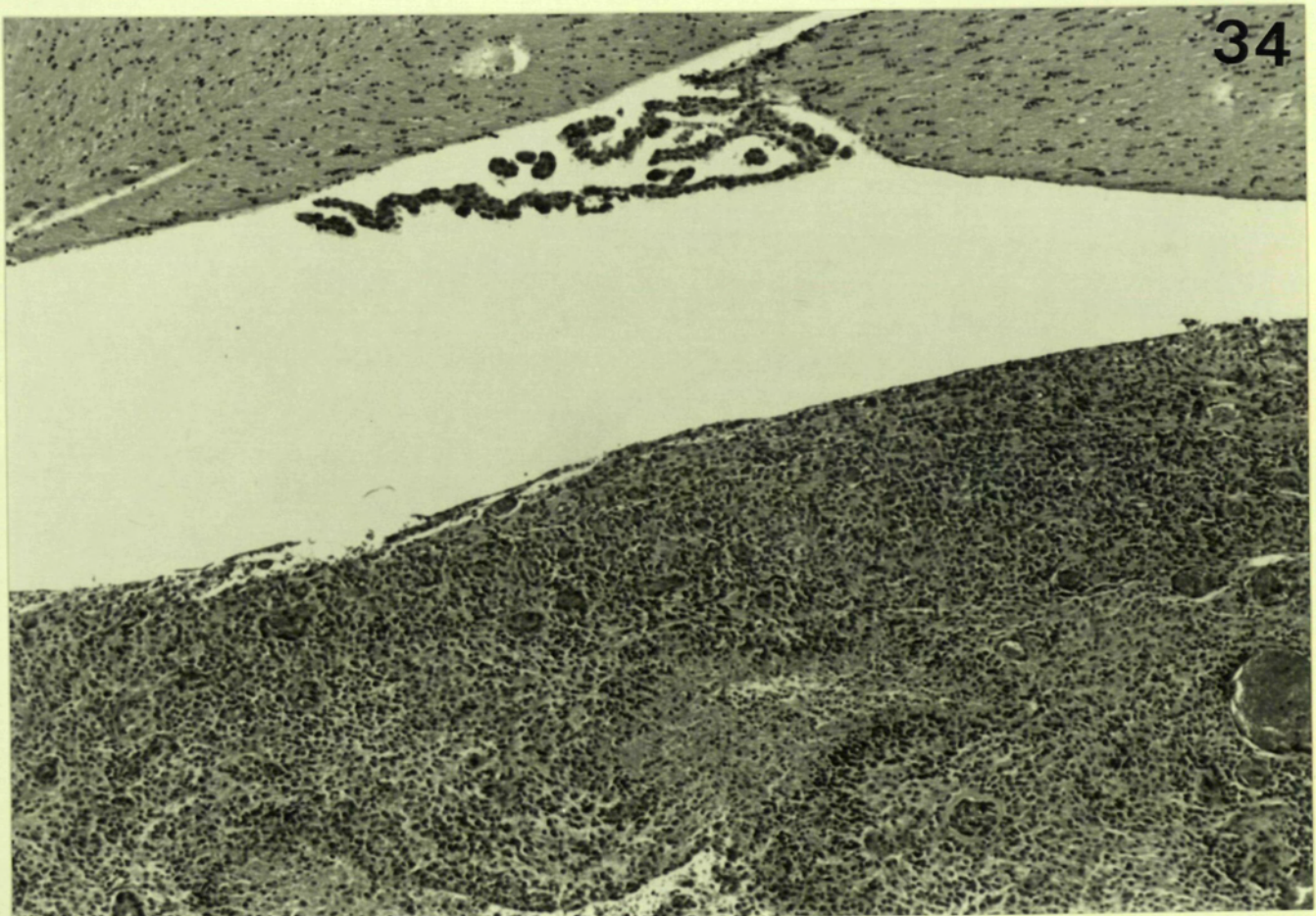
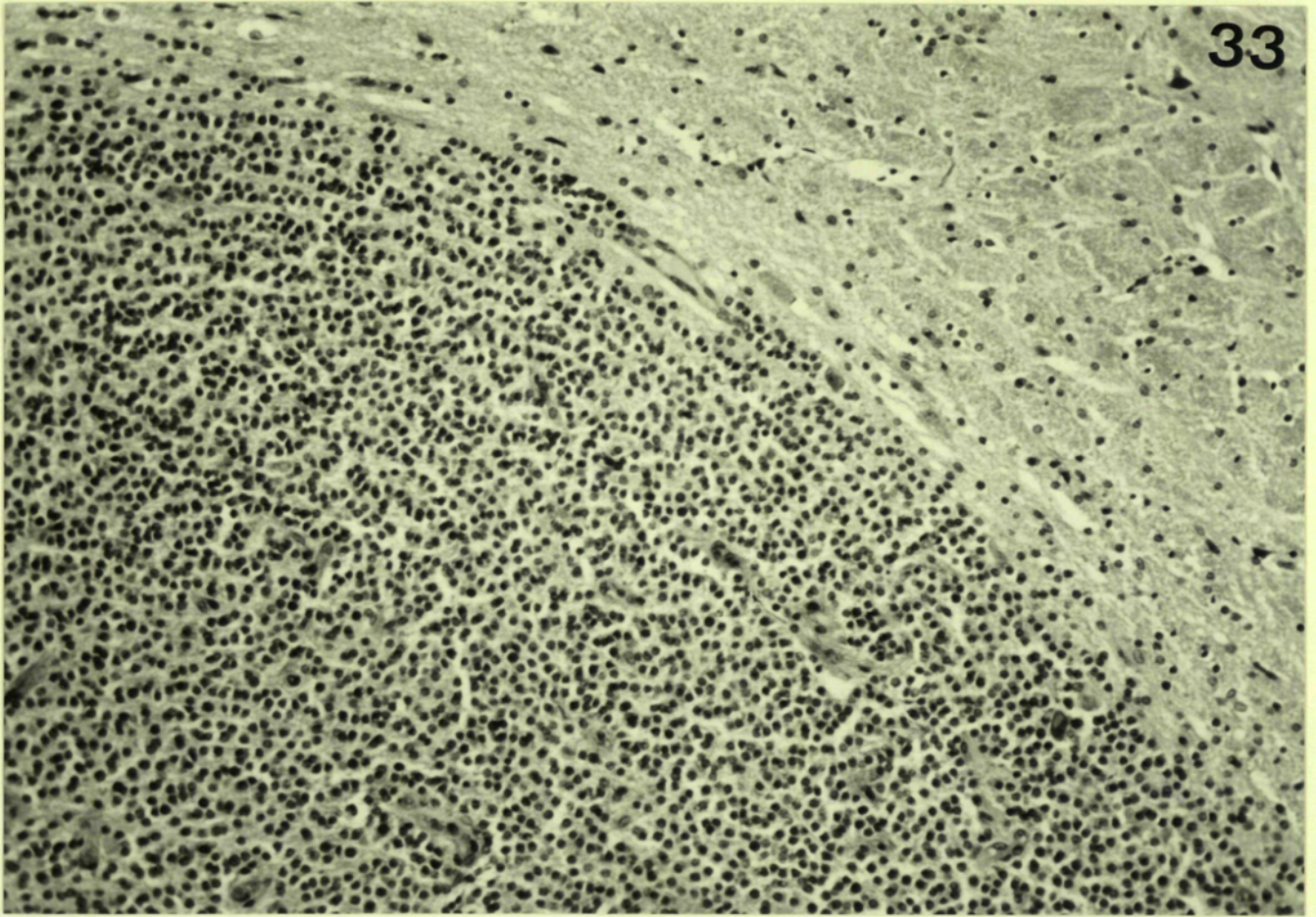


Fig.35:

Aspecto citológico de un glioma cerebral de tamaño inferior a 2 mm de diametro. Notese el monomorfismo de los elementos celulares y la presencia de una fina red capilar.

Fig.36:

Disposición trabecular focal de las células tumorales en el glioma anterior.

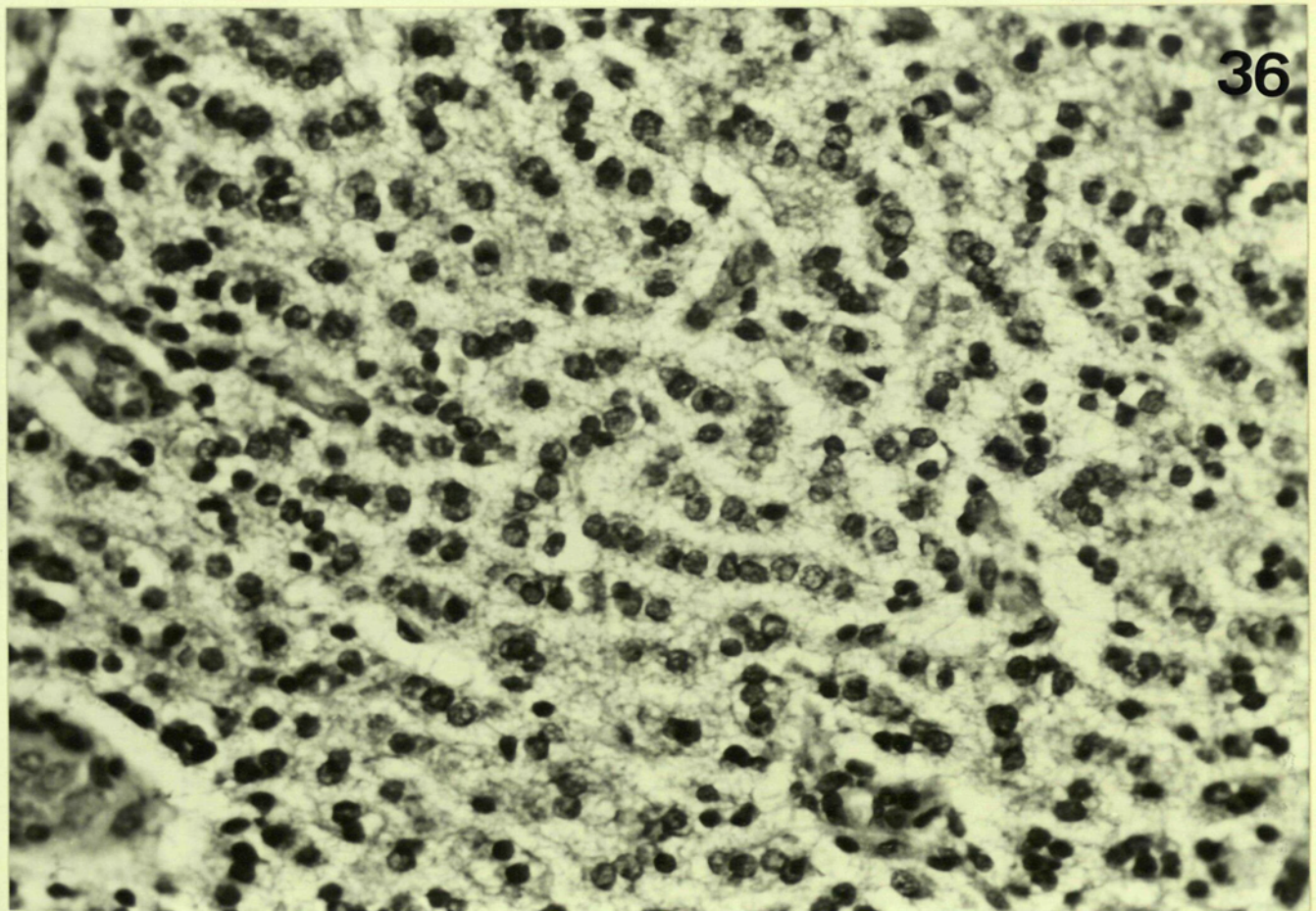
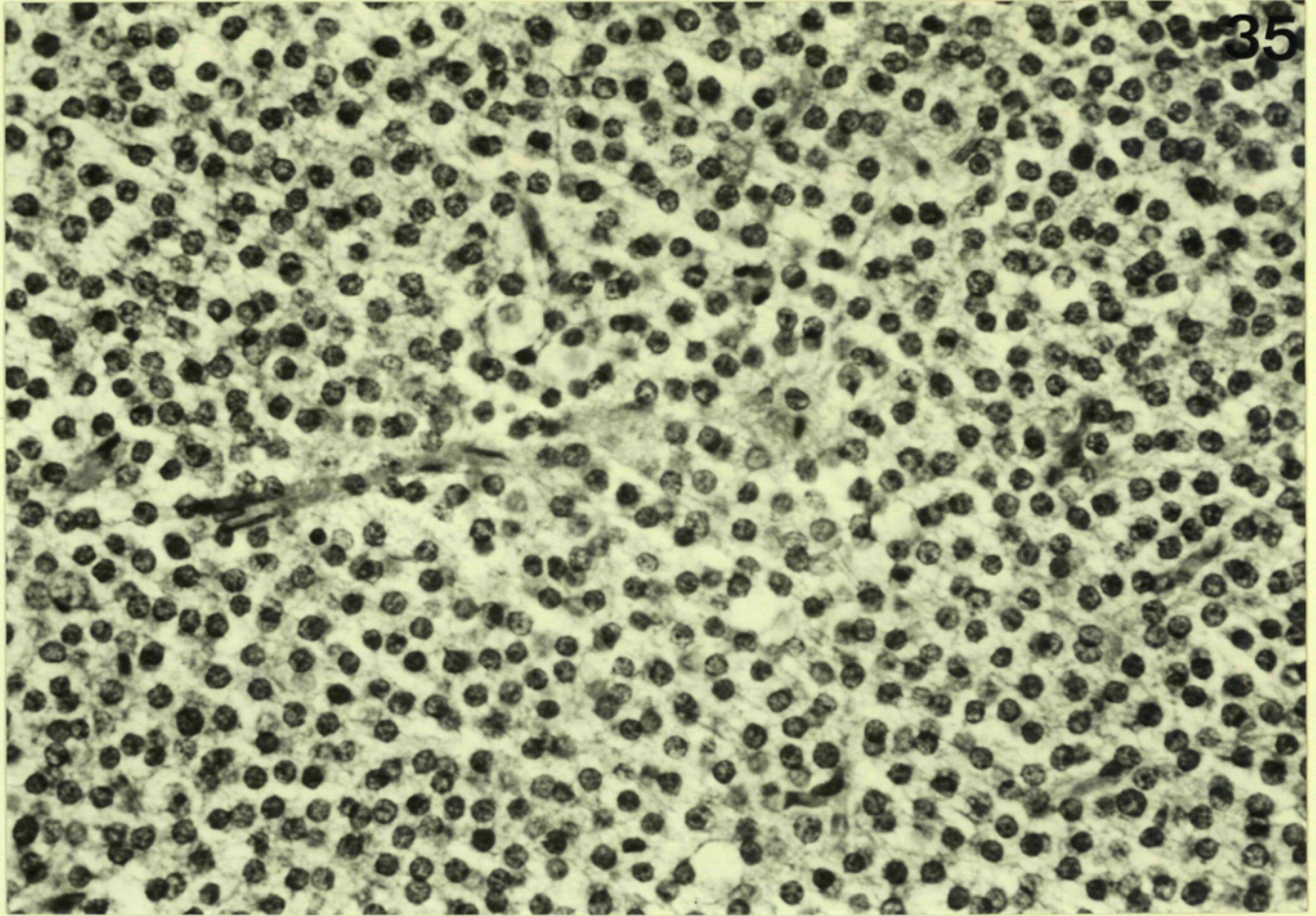


Fig.37:

Extensas áreas necróticas de límites geográficos con seudoempalizada periférica de células tumorales en un glioma de 1,5 cm de diámetro.

Fig.38:

Glioma de médula espinal. Proliferación vascular glomeruloide muy acusada en la periferia del tumor.

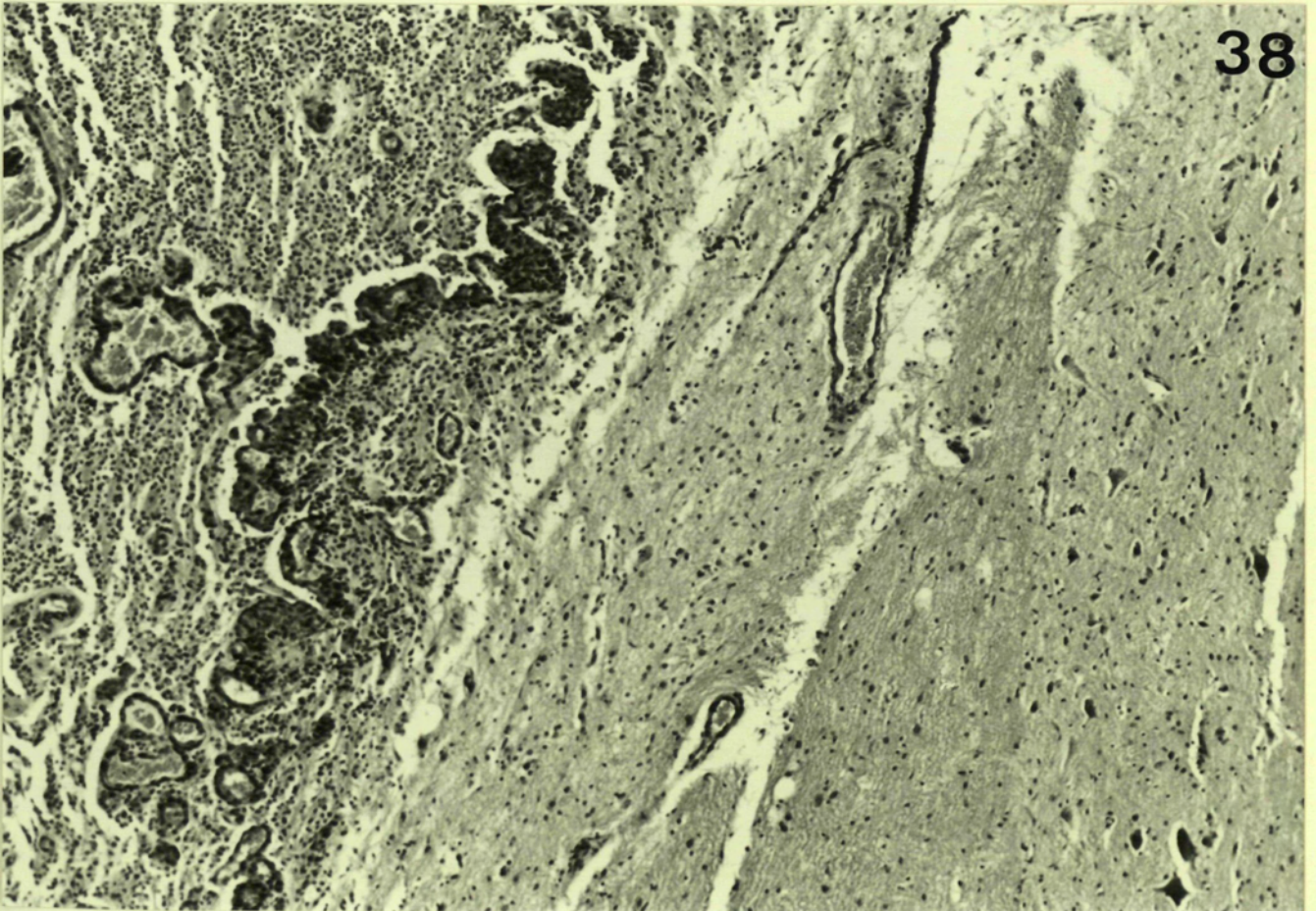
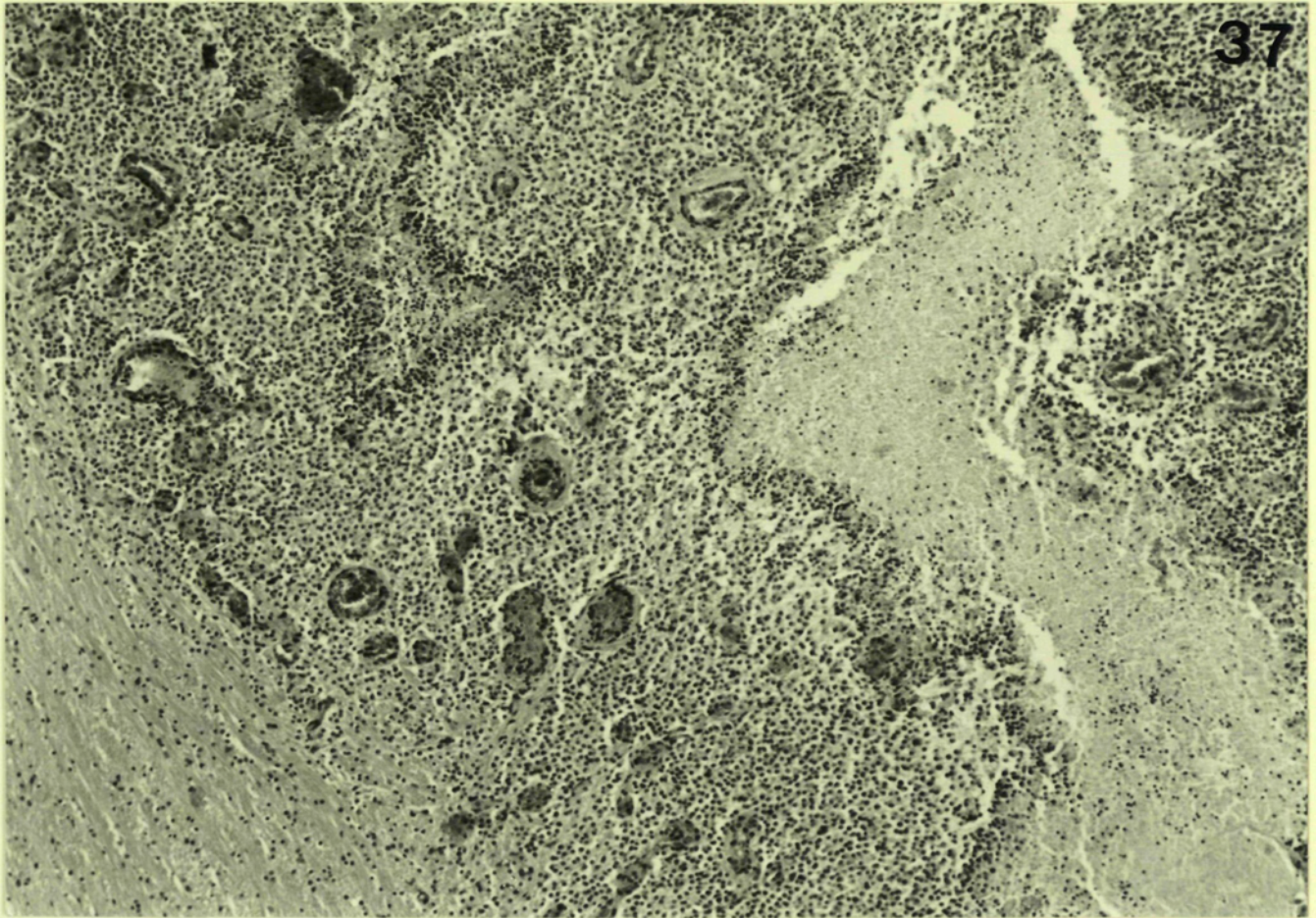


Fig.39:

Glioma cerebral mixto. Presencia de células claramente astrocitarias entremezcladas con la población oligodendrocitaria.

Fig.40:

Glioma cerebral mixto. Campo en el que predominan las células de aspecto astrocitario.

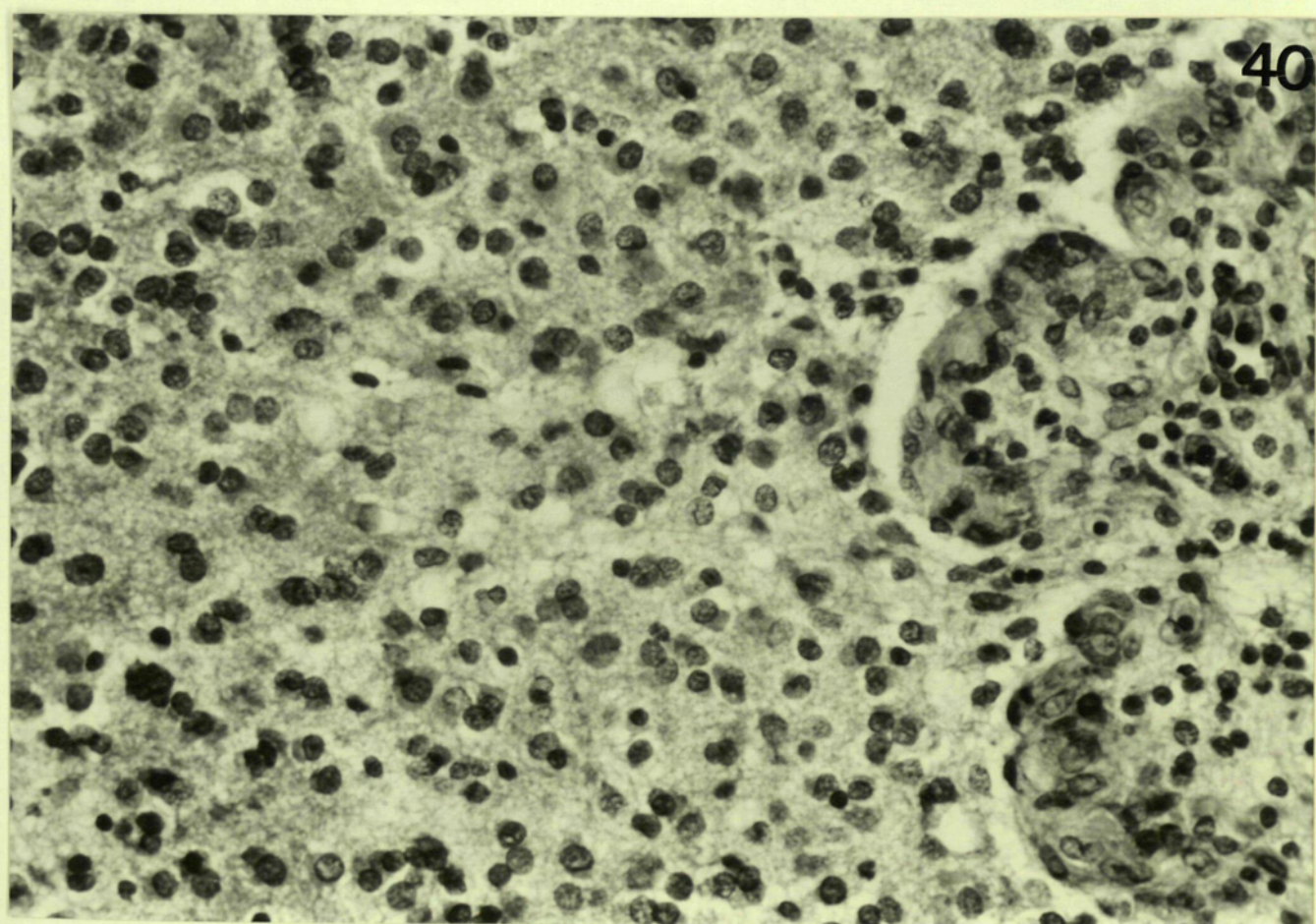
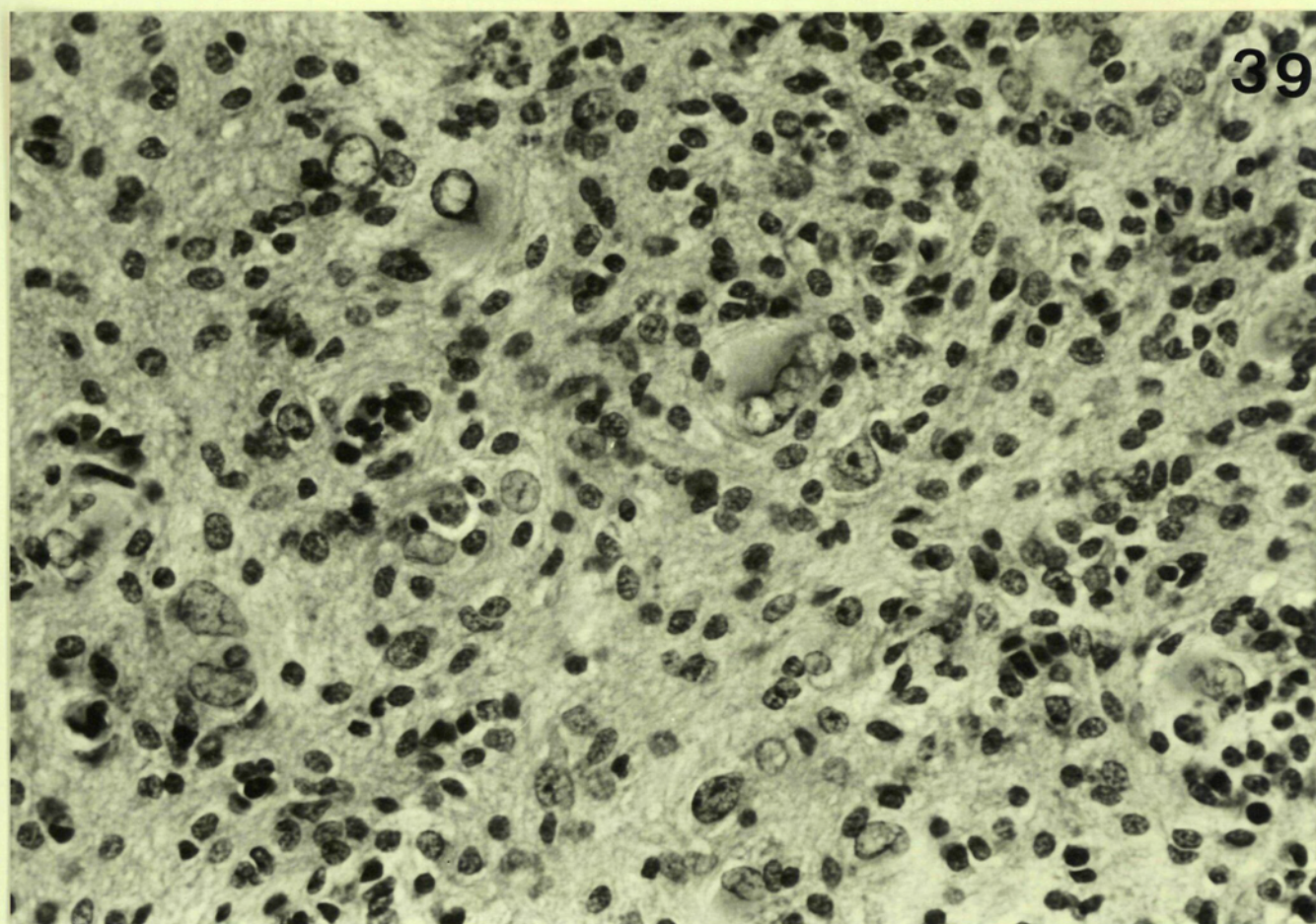


Fig.41:

Glioma cerebral mixto. Las células astrocitarias de este caso muestran rasgos citológicos de malignidad (pleomorfismo celular y mitosis atípicas).

Fig.42:

Glioma cerebral mixto. Otra área del mismo caso con marcado pleomorfismo nuclear y elevado índice mitótico.

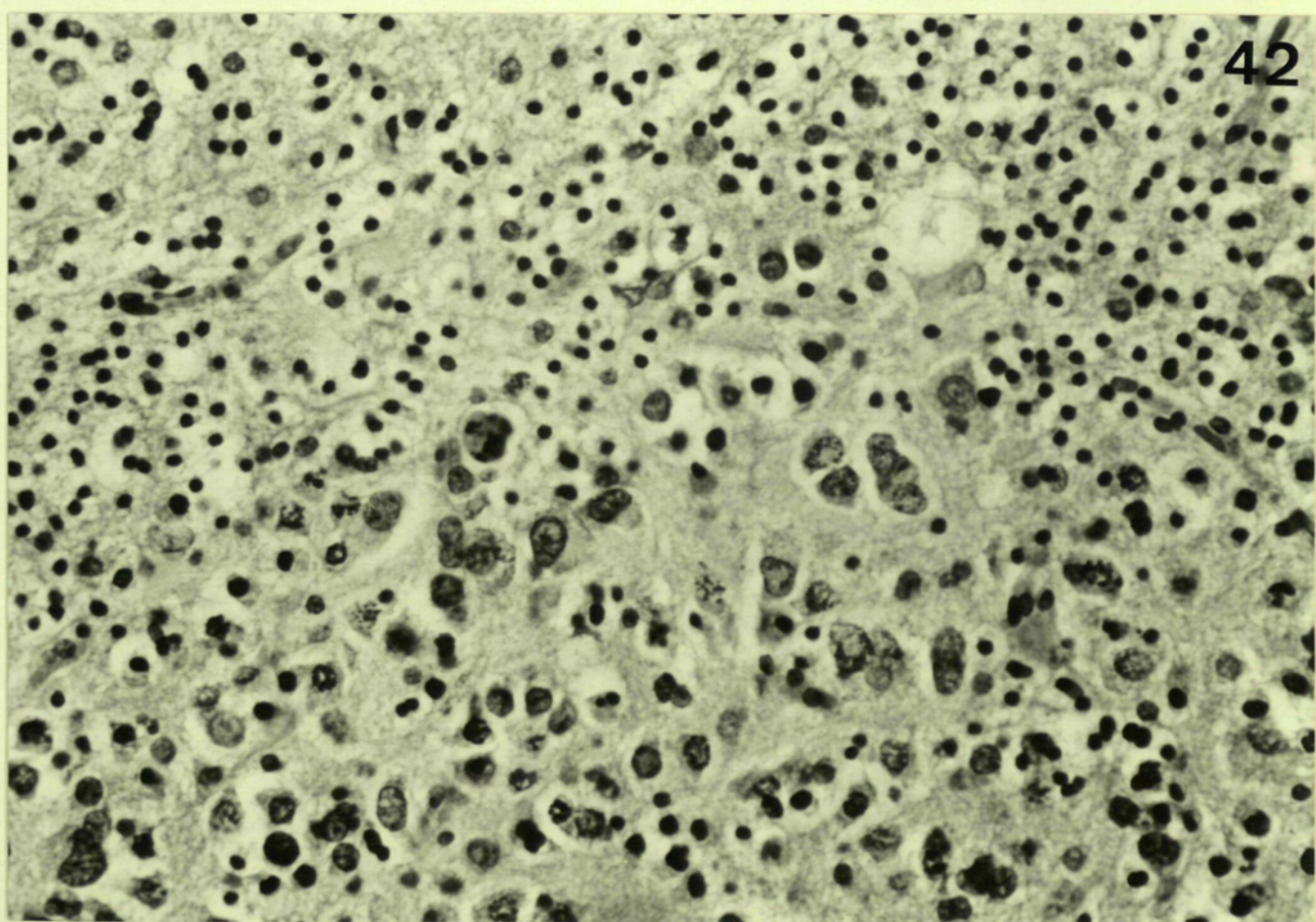
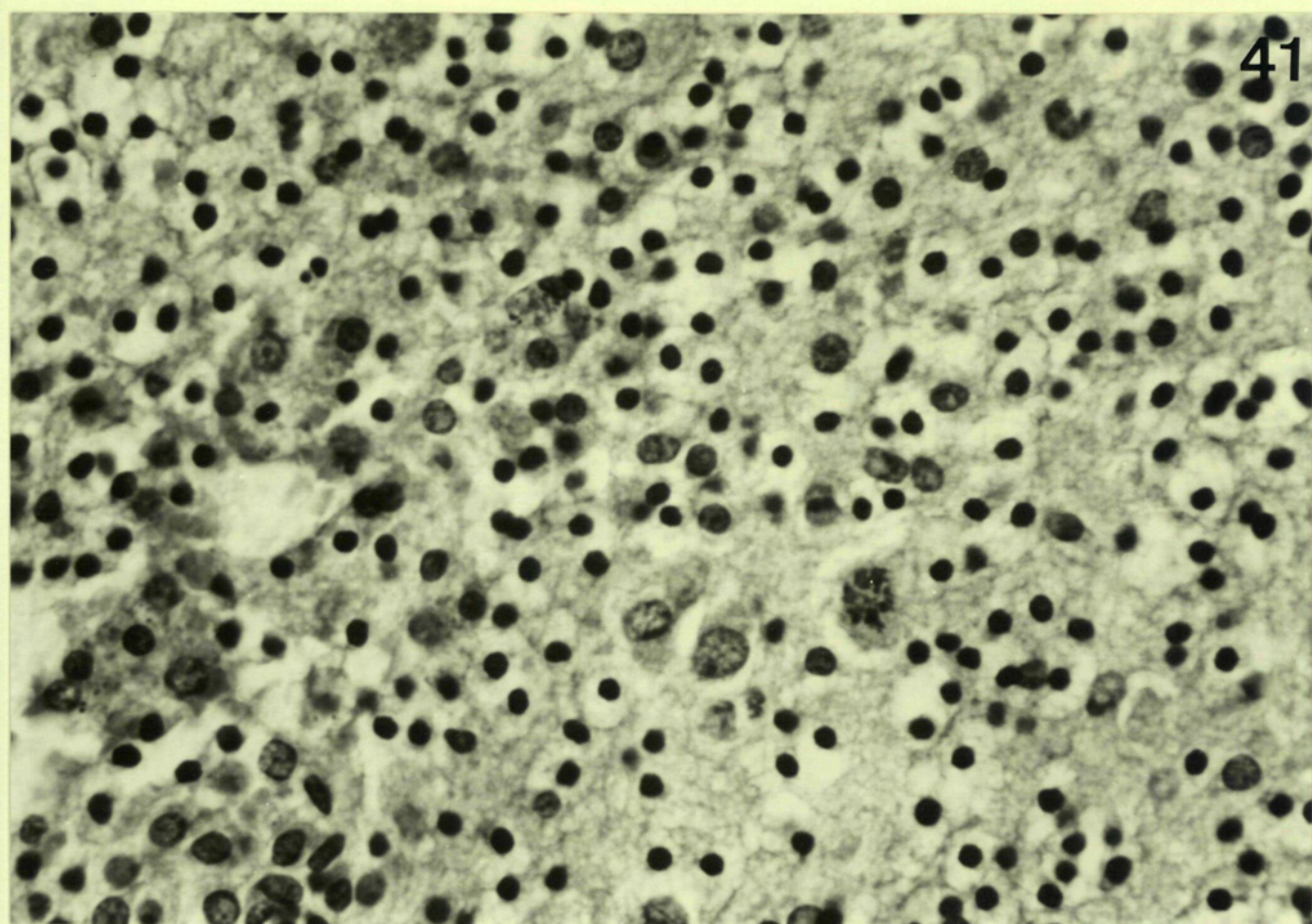


Fig.43:

Glioma cerebral con un área constituida por células de mayor tamaño, dispuestas en forma de trabéculas anastomosadas entre sí.

Fig.44:

Detalle citológico del caso anterior. Las células tumorales de esta zona muestran un núcleo mayor y más vesiculoso que el de las células oligodendrocitarias adyacentes.

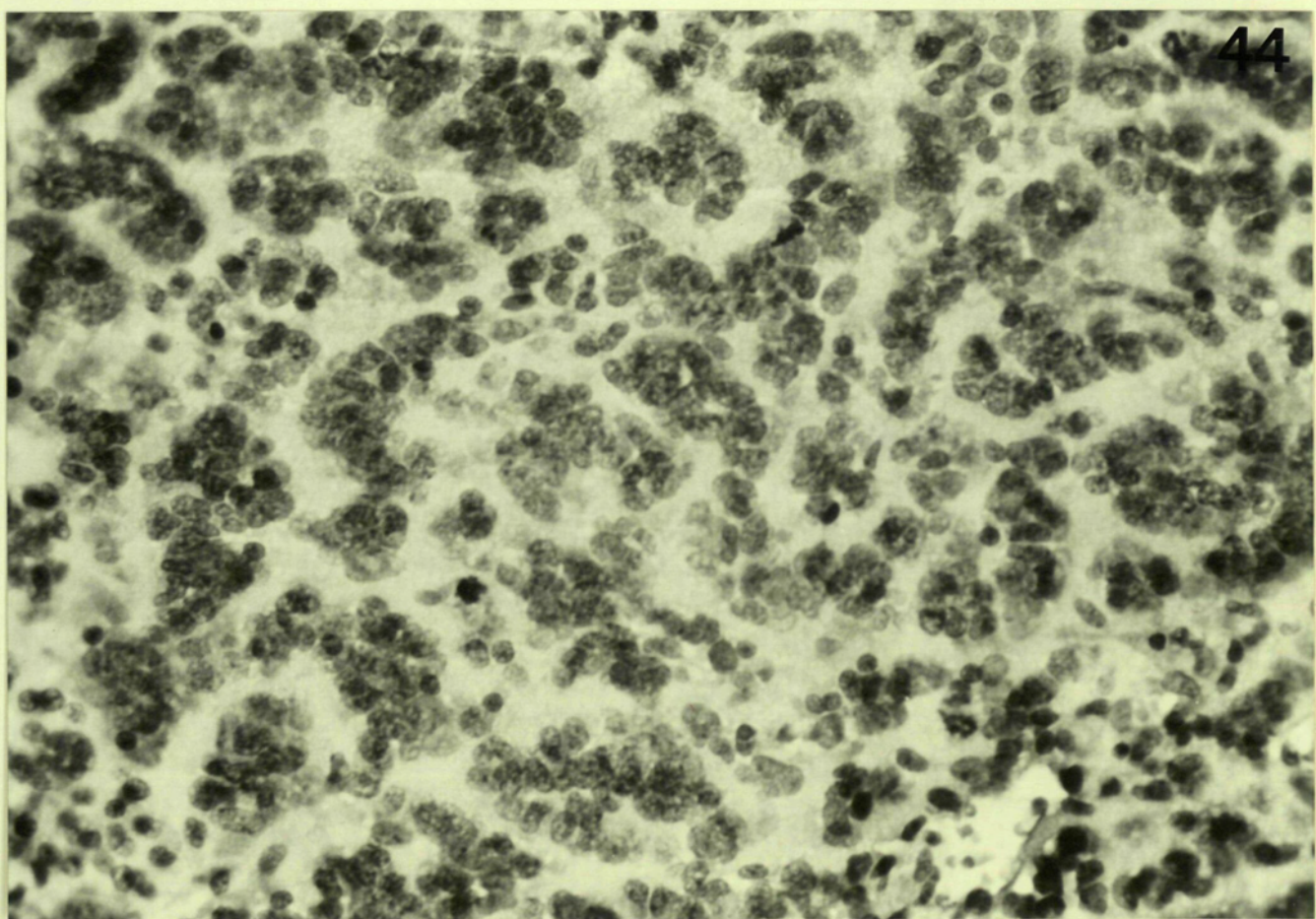
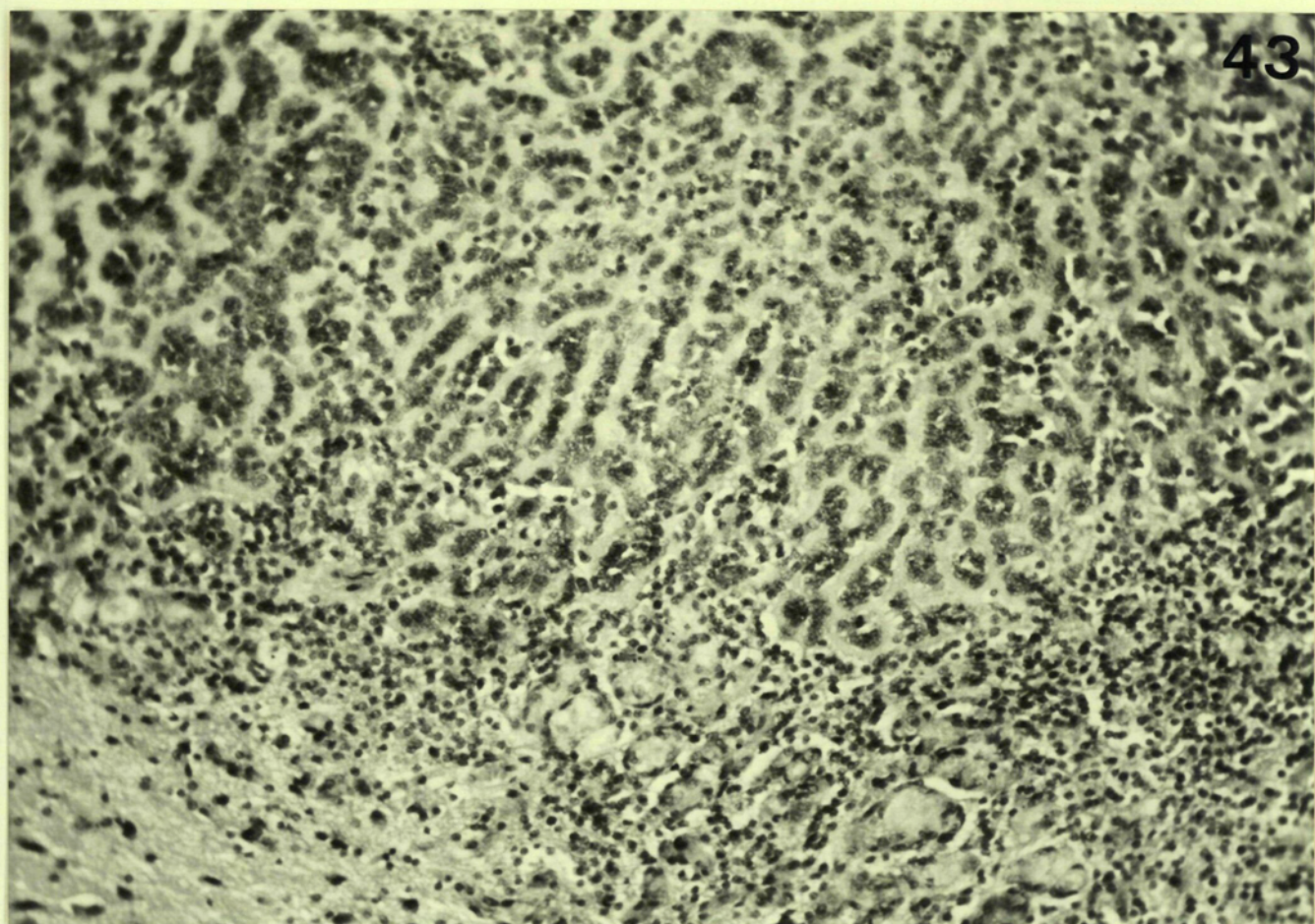


Fig.45:

Aspectoseudopapilar en un glioma cerebral de 1,75 mm de diámetro. Existe un espacio acelular prominente perivascular.

Fig.46:

Glioma cerebral integrado por células oligodendrocitarias y astrocitos de aspecto pilocítico.

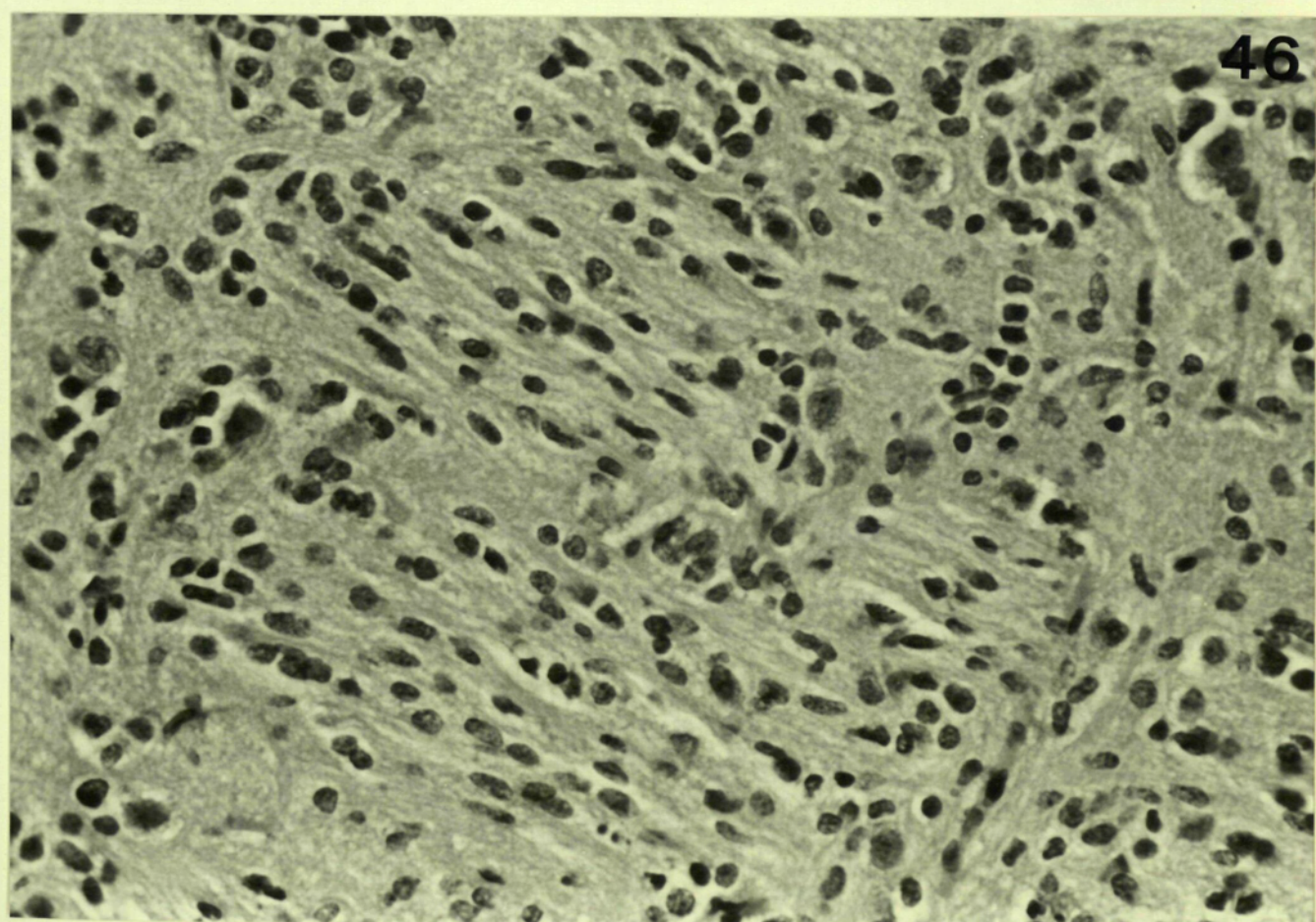
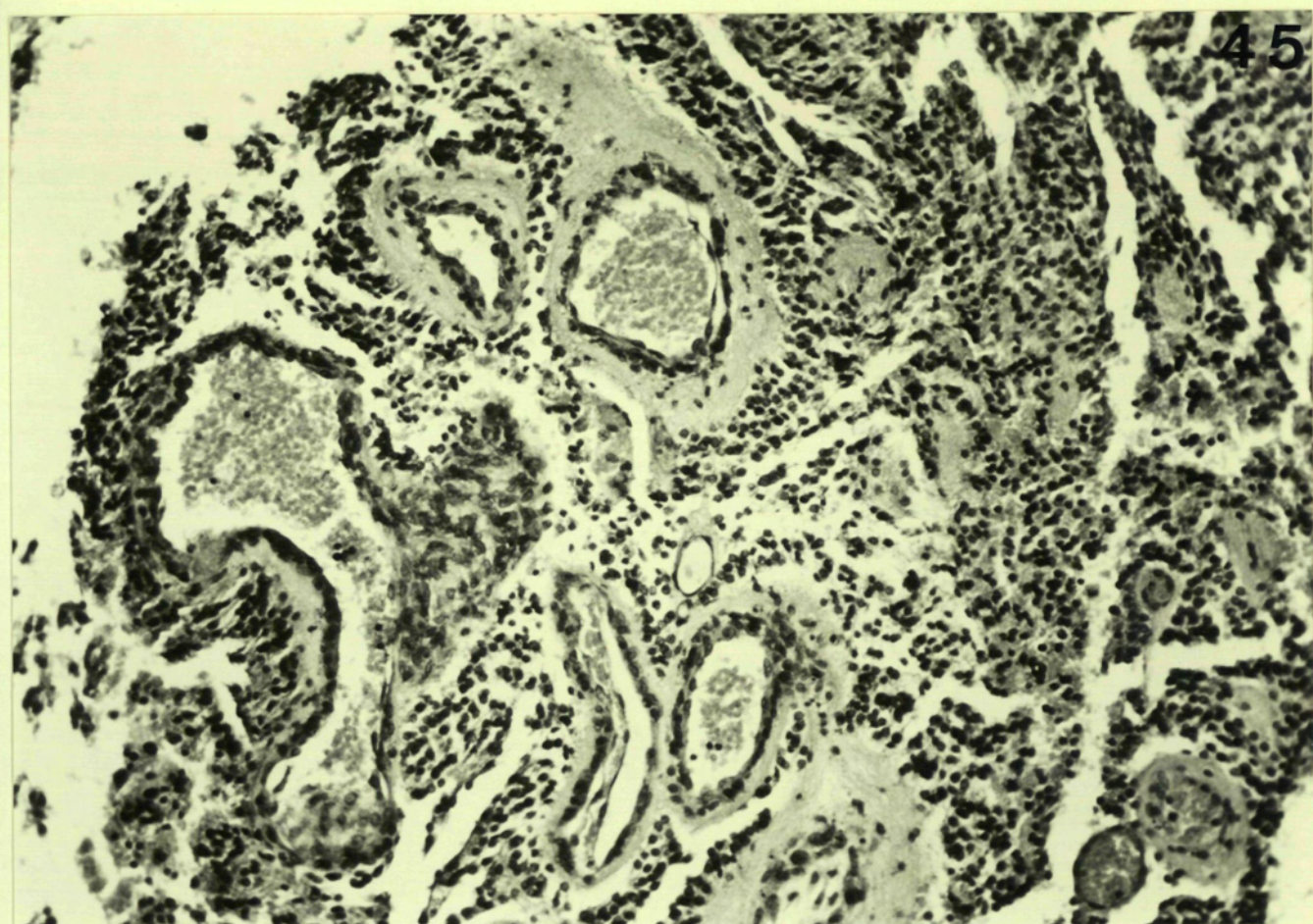


Fig.47:

Glioma cerebral con focos de necrosis y microcalcificaciones .

Fig.48:

Infiltración tumoral del parenquima cerebral adyacente a un glioma a través de los espacios perivasculares de Virchow-Robin.

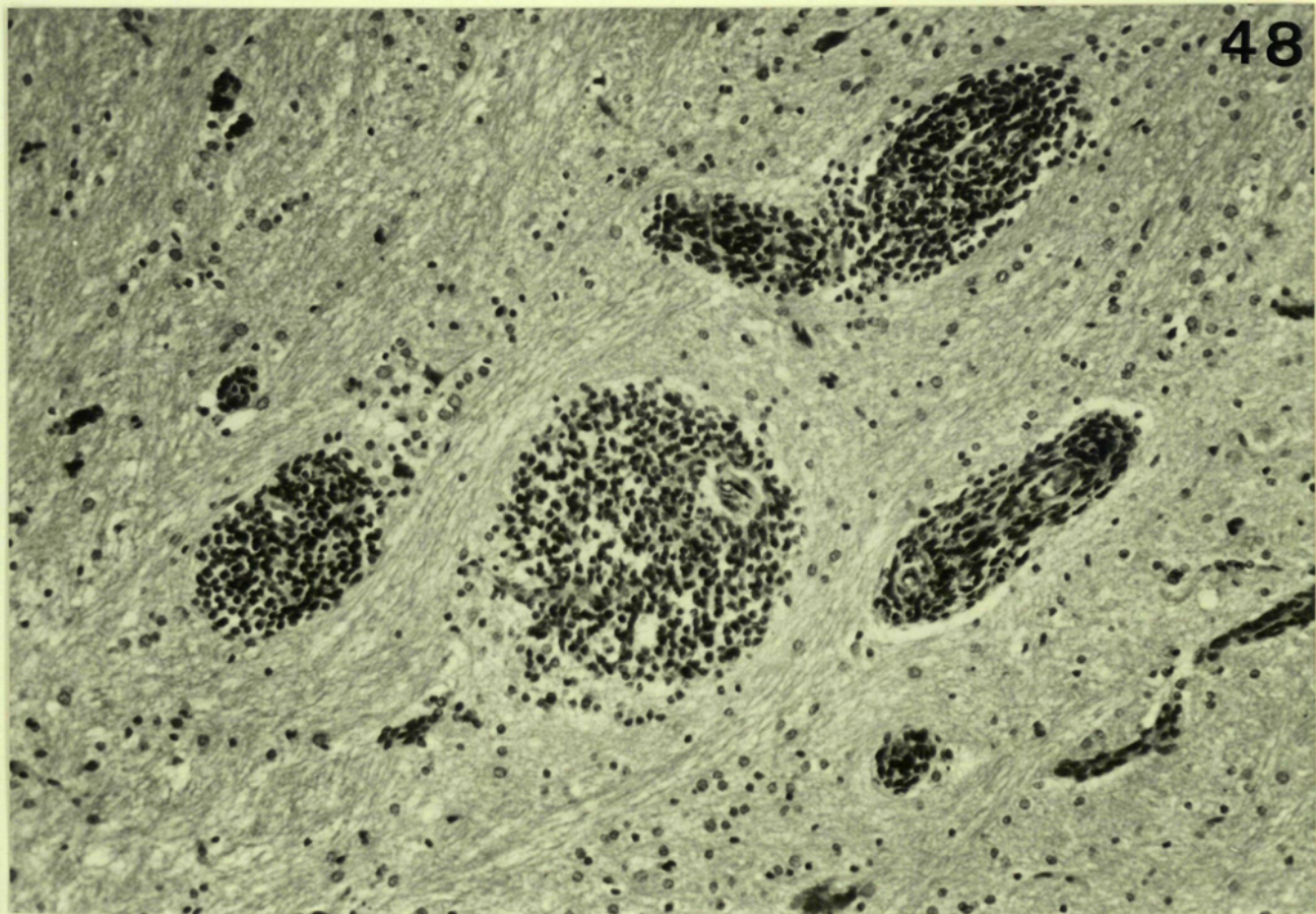
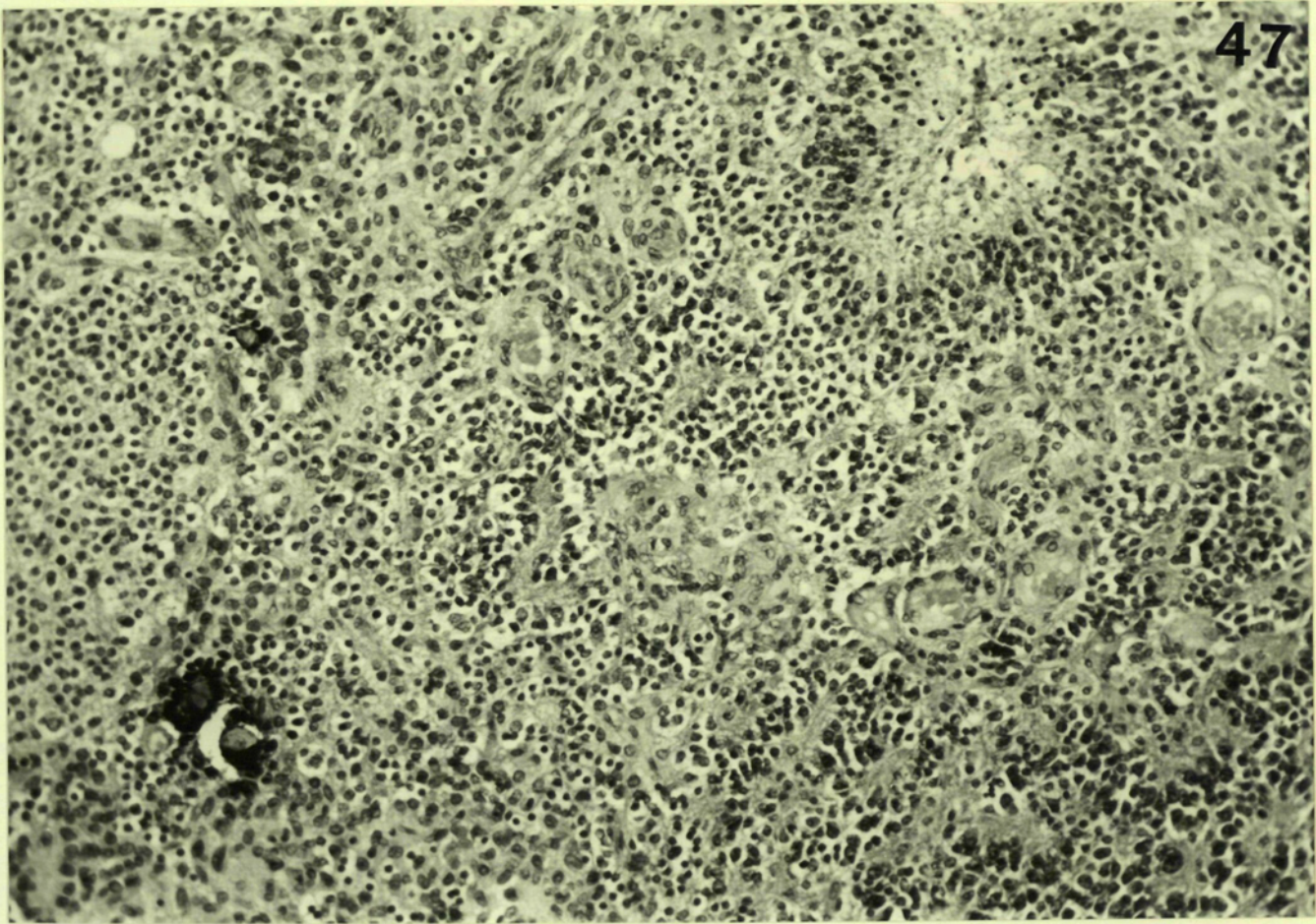


Fig.49:

Infiltración meníngea masiva por un tumor gliomatoso localizado en la médula espinal.

Fig.50:

Detalle del caso anterior. Obsérvese la intensa reacción meníngea fibroblástica, a la derecha de la imagen.

